

## اثرهای معادله ایستایی و تابع ترfftz بر پاسخ‌های جزء صفحه خمشی چهارپهلو\*

محمد رضائی پژند<sup>(۱)</sup> مصصومه ملکزاده گنابادی<sup>(۲)</sup> نیلوفر رجب‌زاده صفائی<sup>(۳)</sup>

**چکیده** در این پژوهش، ده جزء صفحه خمشی چهارپهلو کیمی‌پهلوی تابع تغییر مکان ترfftz و برقرار نمودن معادله ایستایی پیشنهاد می‌شود. نخست، مناسب‌ترین چیزمان‌های درجه‌های آزادی و نیز گره‌های روی جزء برایه پژوهش پیشینیان به دست می‌آیند. پس از آن، با بهره جستن از تقارن جمله‌ها، ده جزء با تابع میدان متفاوت برای دو چیزمان برتر، معرفی خواهند شد. واکاوی‌های عددی آشکار می‌کنند که تابع میدان برگرفته از تابع‌های ناقص ترfftz در صورت انتخاب درست جمله‌ها، با شمار درجه آزادی کمتر و مرتبه بالاتر نسبت به جزء‌های کامل، می‌توانند جزء‌های مفیدی را پدید آورند. چون تابع‌های ترfftz معادله ایستایی را برقرار می‌سازند، پاسخ‌های نیرویی بیشتر جزء‌ها، دقت فرون‌تری نسبت به پاسخ‌های جابه‌جایی‌ها دارند.

**واژه‌های کلیدی** صفحه خمشی نازک؛ معادله ایستایی؛ پاسخ تحلیلی؛ تابع ترfftz؛ جزء خمشی چهارپهلو؛ تابع درون‌یاب ناقص.

## The Effect of Equilibrium Equation and Trefftz Functions on the Responses of Quadrilateral Bending Plate

M. Rezaiee-Pajand

M. Malekzadeh-Gonabadi

N. Rajabzadeh-Safaei

**Abstract** In this study, ten novel quadrilateral Kirchhoff's bending plate elements based on the Trefftz displacement functions and satisfying equilibrium equation are suggested. First, the most suitable arrangement of degrees of freedom and nodes are achieved by benefiting from previous researches. Afterwards, using the symmetry of terms, ten elements with different interpolation functions for the two top arrangements will be introduced. Numerical tests reveal that the correct choice of the interpolation's terms from the incomplete Trefftz functions leads to more efficient elements with lower degrees of freedom and higher order than the complete elements. Since the Trefftz functions meet the equilibrium conditions, the force responses of the most cases have a higher accuracy than the displacement responses.

**Key Words** Thin bending plate; equilibrium equation; analytical solution; Trefftz function; quadrilateral bending element; incomplete interpolation function.

\*تاریخ دریافت مقاله ۹۴/۷/۲۷ و تاریخ پذیرش آن ۹۶/۴/۷ می‌باشد.

(۱) نویسنده مسئول، استاد گروه مهندسی عمران، دانشگاه فردوسی، مشهد. rezaiee@um.ac.ir

(۲) کارشناس ارشد مهندسی عمران-سازه، دانشگاه فردوسی، مشهد.

(۳) دانشجوی دکترای عمران-سازه، دانشگاه فردوسی، مشهد.

## مقدمه

در صفحه‌های نازک خمشی پدیدآمده برپایه نگره کیرشهف، از اثر تغییرشکل‌های برشی در جایه‌جایی سازه چشم‌پوشی می‌شود؛ در حالی که نگره رایزن-میندلین [۱] این اثر را وارد تحلیل می‌کند. بنابراین، این نگره برای صفحه‌های ضخیم که تغییرشکل‌های برشی قابل توجهی دارند، پاسخ مناسبی را به دست می‌دهد.

در دسته‌ای از روش‌ها، نخست بنا به نگره کیرشهف رابطه‌های صفحه نازک نوشته می‌شوند؛ سپس، با وارد کردن اثر تغییرشکل برشی، آنها را برای صفحه ضخیم نیز کارا می‌سازند. در سال ۲۰۰۰، جزئی چهارپهلو با ۱۲ درجه آزادی برای صفحه‌های بسیار نازک، نازک و ضخیم توسط سوه و همکارانش [۲] پیشنهاد شد. در آن جزء، دوران و کرنش برشی روی پهلوها با نگره تیر تیموشنکو به دست آمدند. همچنین، دوران، انحنا و کرنش برشی درون جزء با فن درون‌یابی بهبودیافته در دسترس قرار گرفتند.

در نگره میندلین- رایزنر، پیوستگی مرتبه یکم  $C^1$  کافی است و با مستقل شدن تغییرمکان‌ها پیوستگی بین جزئی تأمین می‌شود. شیخ و همکارانش در سال ۲۰۰۱ [۳] با سه میدان تغییرمکان مستقل خیز و دو دوران برشی به جای دوران‌های خمشی، جزئی مثلثی برای صفحه‌های همسان‌گرد و ضخیم پدید آوردند. راهکار میدان سازگار روشی دیگر است که از پدیده قفل جلوگیری می‌کند [۴]. با نازک شدن صفحه‌ها، کرنش برشی به سوی صفر می‌گراید. این فرآیند با تغییر ضخامت در صفحه‌های ضخیم نیز باید دیده شود. در سال ۲۰۰۲، شیخ و همکاران [۶]، با روش جزء محدود تغییرمکانی و بهره‌جویی از راهکار میدان سازگار، دو تابع میدان مستقل را با مرتبه ناهمسان برای تغییرمکان جانبی و دوران خمشی به کار برdenد.

راهکار قالب جزء محدود یا رابطه‌سازی آزاد روشی نو برای دستیابی به ماتریس سختی جزء‌های

محدود است. رضایی پژند و محمدزاده [۷] در مقاله‌ای با این شیوه ماتریس سختی جزء چهارپهلوی خمشی را پیشنهاد دادند. باتوز و کاتیلی [۸] نیز با راهکار رابطه‌سازی آزاد، جزء چهارپهلوی صفحه کیرشهف ناپیوسته DKQ را پدید آوردن. رزاپور و همکارانش در سال ۲۰۰۳ [۹]، جزء چهارپهلوی ۴ گرهی بهبودیافته برپایه پنداشت‌های نگره کیرشهف گستته با ۱۲ درجه آزادی به نام IDKQ برای صفحه‌های نازک پیشنهاد دادند. باتوز و همکارش [۱۰] این پنداشت‌ها را برای مرزها و خط‌های مرکزی جزء QUAD9 به کار گرفتند و رفتار این جزء را بهبود بخشیدند.

در سال ۱۹۲۶، ترفت نگره‌ای نو برپایه فن تغییراتی با به کارگیری تابع نخستین گیری‌های (انتگرال گیری‌های) مرزی را پیشنهاد داد. در این نگره، تابع‌های درون‌جزئی در معادله‌های دیفرانسیلی حاکم بر صفحه‌های نازک صدق می‌کرد. همچنین، شرط‌های مرزی و پیوستگی درون جزئی با تابع نخستین گیری به روش مانده‌های وزنی تأمین می‌شدند [۱۱]. باید آگاه بود، نخستین تلاش‌ها برای ساخت یک جزء ترفتی به سال ۱۹۷۷ برمی‌گردد [۱۲]. زمانی که شمار تابع‌های مستقل اصلی بیش از یک باشد، نام روش پیوندی به میان می‌آید [۱۳]. تابع‌های پیوندی می‌توانند تابع‌های تغییرمکان مستقل باشند و یا این‌که تابع تنش جداگانه‌ای فرض شود. برای بهبود تنش‌ها و نیروهای درونی در جزء‌ها برپایه تغییرمکان، می‌توان از روش تنش پیوندی بهره جست و تابعی جداگانه برای تنش‌ها پنداشت [۱۴، ۱۵]. در سال ۲۰۰۲، سن و همکارانش [۱۶] تغییرمکان‌ها را با روش مشابه سوه و همکارانش در سال ۲۰۰۱ [۲] به دست آوردند. آنها برای یافتن تنش‌ها از شیوه پیوندی استفاده کردند؛ از این‌رو، پاسخ‌های این پژوهشگران، هم برای تغییرمکان و هم برای تنش مطلوب بود.

هرگاه دو تابع تغییرمکان مستقل، یکی در درون جزء، که معادله ایستایی را برقرار کند، و دیگری روی

به دست می آیند. در مجموع، ۶۷۴ جزء صفحهٔ خمسمی جدید در این مقاله بررسی شده‌اند. از این میان، ده جزء که پاسخ‌های برتری دارند معرفی خواهند شد. چهار جزء از خانوادهٔ نخست آرایش درجهٔ آزادی و شش جزء از خانوادهٔ دوم انتخاب می‌شوند و شمار زیادی آزمون عددی بروی آنها انجام می‌گیرد. از مقایسهٔ جزء‌های ناقص پیشنهادی با دو جزء کامل، می‌توان دریافت، که برخلاف تصور معمول، کامل بودن تابع‌های انتخابی شرط لازم برای دست‌یابی به دقت بالا نمی‌باشد. به سخن دیگر، در صورت انتخاب درست تابع‌های ناقص ترفترز، می‌توان به جزء‌های با شمار درجهٔ آزادی کمتر و مرتبهٔ بالاتر دست یافته که نسبت به جزء‌های کامل پیشینان کارترند. این یافته برتری جزء‌های ناقص پیشنهادی را نسبت به پژوهش کارکن و اختری، که دارای تابع‌های میدان کامل‌اند، نشان می‌دهد [۱،۲۶]. این مقاله آشکار خواهد کرد، چون تابع میدان معادلهٔ ایستایی را برقرار می‌کند، پاسخ‌های نیرویی بیشتر جزء‌ها، دقت بیشتری نسبت به تغییر مکان‌ها دارند.

### معادلهٔ ایستایی صفحهٔ کیرشهف

همان‌گونه که آمد، تابع‌های ترفترز در حقیقت پاسخ‌های معادلهٔ ایستایی هستند. معادلهٔ دیفرانسیل صفحهٔ خمسمی مرتبهٔ چهار و به سیمای زیر می‌باشد:

$$\nabla^4 w = \frac{\partial^4 w}{\partial x^4} + 2 \frac{\partial^4 w}{\partial x^2 \partial y^2} + \frac{\partial^4 w}{\partial y^4} \\ = \frac{p(x, y)}{D}, \quad D = \frac{Et^3}{12(1-v^2)} \quad (1)$$

در اینجا،  $\nabla$  کارگر نایلا،  $w$  تابع میدان تغییر مکان جزء،  $p(x, y)$  تابع بار و  $D$  سفتی صفحه می‌باشد. همانند معادلهٔ زیر، تابع میدان جزء دارای دو بخش است:

مرزها، که شرط‌های سازگاری و پیوستگی بین جزء‌ها را تأمین نماید، تعریف شود، نام «ترفترز پیوندی» به جزء‌ها داده می‌شود [۱۹-۲۱]. باید دانست، تابع‌های ترفترز مختلط هستند و به راحتی تمام معادله‌های دیفرانسیلی ایستایی را برقرار می‌سازند. دیگر ویژگی روش ترفترز پیوندی این است که جمله‌های حرکت جسم سخت جایی در تابع شکل درونی جزء ندارند [۲۱،۱۴،۲۰]؛ حتی در شبکه‌بندی‌های درشت، جزء‌های مرتبه‌بالای ترفترز، مانند جزء‌های چهارپهلو با ۸ گره و مثاشی با ۶ گره از دقت بالایی، برخوردارند [۲۲]. در سال ۲۰۱۴، با بهره‌جوبی از این‌گونه جزء‌ها و فن ترفترز پیوندی، رضایی پژنده و کارکن [۲۳] دو جزء مثاشی و چهارپهلوی مرتبه‌بالا ساختند. برای بهبود توانایی جزء، تابع شکل تیر اولر- برنولی سه‌گرهی را برای هر پهلوی جزء به کار بردند. پیش از این و در سال ۲۰۱۲، رضایی پژنده و همکارانش [۲۴] همین جزء‌های مثاشی و چهارپهلو را با ۳ و ۴ گره نیز ساخته بودند.

در این اثر، برای رابطه‌های جزء‌های محدود صفحهٔ خمسمی کیرشهفی، از تابع ترفترز برای خیز بهره‌جوبی خواهد شد. به خاطر باید سپرد، در تمامی جزء‌های خانوادهٔ ترفترز، تابع میدان درونی، معادلهٔ دیفرانسیلی حاکم بر جزء را برقرار می‌کند. دو بخش عمومی و خصوصی در پاسخ‌های معادلهٔ دیفرانسیل حاکم بر صفحه وجود دارند. از این‌رو، تابع میدان نیز از جمع این پاسخ‌ها به دست می‌آید. تابع ترفترز برای پاسخ بخش همگن به کار می‌رود و اثر چگونگی انتخاب جمله‌های این تابع در دقت پاسخ‌های خیز و لنگر، هدف اصلی این مقاله است. برای انجام این پژوهش، دو خانوادهٔ جزء با دو آرایش درجهٔ آزادی متفاوت و پس از حذف گونه‌های ناشایسته انتخاب می‌شوند. باید دانست، برای هر یک از آرایش درجه‌های آزادی و چیدمان گره‌ها روی جزء، می‌توان تابع میدان‌های متفاوتی را به کار برد که این ویژگی در پژوهش کارکن [۱] وجود ندارد. هر یک از این تابع‌ها، با نگهداری تقارن جمله‌ها و حذف شماری از جمله‌های ترفترز

کرنش و جایه‌جایی جزء به دست می‌آیند [۲۷، ۱]:

$$\varepsilon = z(\tilde{\varepsilon} + B_q \{c\}), \quad u = \tilde{u} + N_q \{c\} \quad (5)$$

$$\tilde{\varepsilon} = \left[ -\frac{\partial^2 w_p}{\partial x^2}, -\frac{\partial^2 w_p}{\partial y^2}, -2 \frac{\partial^2 w_p}{\partial x \partial y} \right]^T \quad (6)$$

$$B_q = \left[ -\frac{\partial^2 w_c}{\partial x^2}, -\frac{\partial^2 w_c}{\partial y^2}, -2 \frac{\partial^2 w_c}{\partial x \partial y} \right]^T \quad (7)$$

$$\tilde{u} = \left[ w_p, -\frac{\partial w_p}{\partial x}, \frac{\partial w_p}{\partial y} \right]^T \quad (8)$$

$$N_q = \left[ w_c, -\frac{\partial w_c}{\partial x}, \frac{\partial w_c}{\partial y} \right]^T \quad (9)$$

با جایگذاری مختصه‌های گره‌ها در ماتریس  $N_q$ ، تغییر مکان‌های گرهی به صورت زیر در دسترس قرار می‌گیرند:

$$D = \tilde{D} + \hat{G}_q \{c\}, \quad \hat{D} = \hat{G}_q \{c\} \quad (10)$$

$$\{c\} = \hat{G}_q^{-1} \hat{D}$$

از سوی دیگر، با قرار دادن  $\{c\}$  در بردارهای کرنش و جایه‌جایی‌های گرهی، معادله‌های زیر نتیجه می‌شوند:

$$u = \tilde{u} + N_q \{c\} = \tilde{u} + N_q \hat{G}_q^{-1} \hat{D} \quad (11)$$

$$\hat{N} = N_q \hat{G}_q^{-1} \quad (12)$$

$$\varepsilon = z(\tilde{\varepsilon} + B_q \{c\}) = z(\tilde{\varepsilon} + B_q \hat{G}_q^{-1} \hat{D}) \quad (13)$$

$$\hat{B} = B_q \hat{G}_q^{-1} \quad (14)$$

بر این پایه، تابعی کارمایه نهفته (تابعی انرژی پتانسیل) بر حسب ماتریس کشسانی  $D_m$  بر روی میان صفحه  $\Omega$  به صورت زیر برمی‌گردد:

$$\Pi = \frac{1}{2} \int_{\Omega} (\tilde{\varepsilon} + B_q \{c\})^T \cdot D_m \cdot (\tilde{\varepsilon} + B_q \{c\}) \cdot d\Omega - \int_{\Omega} u^T \cdot F \cdot d\Omega \quad (15)$$

$$w = w_p + w_c = w_p + \sum_{j=1}^m w_j c_j \quad (16)$$

$$= w_p + [w_c] \{c\}$$

در این برابری،  $w_c$  و  $w_p$  و  $m$  به ترتیب، پاسخ بخش همگن، پاسخ خصوصی معادله ایستایی صفحه و شمار مجھول‌های گرهی می‌باشند. همچنین،  $\{c\}$  بردار ضریب‌های مجھول نام دارد. با حل تحلیلی معادله حاکم در مختصه‌های قطبی و تبدیل به مختصه‌های دکارتی، پاسخ همگن به صورت تابع‌های ترفنز زیر در دسترس قرار می‌گیرد [۱، ۲۵]:

$$\begin{cases} w_{k+1} = r^2 \operatorname{Re}(z^k) \\ w_{k+2} = r^2 \operatorname{Im}(z^k) \\ w_{k+3} = \operatorname{Re}(z^{k+2}) \\ w_{k+4} = \operatorname{Im}(z^{k+2}) \end{cases}, \quad k = 0, 1, 2, \dots \quad (17)$$

$$r^2 = x^2 + y^2, \quad z = x + iy \quad (18)$$

پاسخ‌های خصوصی برای بارگذاری‌های متفاوت در بخش آزمون‌های عددی ارائه خواهد شد. همچنین، جمله‌های تابع ترفنز برای دسته‌های با شماره  $k$  در پیوست مقاله آمده است. یکی از ویژگی‌های تابع‌های ترفنز، افزون بر برقرار کردن معادله لابلس، کامل بودن آنها است. به سخن دیگر، تابع‌های ترفنز به گونه‌ای هستند که تمامی پاسخ‌های ممکن را به صورت دسته‌ای از پاسخ‌ها دارند. از این‌رو، در تابع ترفنز جمله‌های ۱،  $r \cos \theta, r \sin \theta, \dots, r^n \cos n\theta, r^n \sin n\theta$  مختصه‌های قطبی به کار گرفته شده‌اند. معادله لابلس نخست در دستگاه مختصه‌های قطبی حل می‌شود و پس از آن، پاسخ‌ها به مختصه‌های دکارتی منتقل خواهند شد.

### رابطه‌سازی جزء صفحه خمی

با داشتن تابع‌های ترفنز، می‌توان رابطه‌های جزء محدود را نوشت. پس از انتخاب تابع میدان، رابطه‌های بردار

- ۱- انتخاب شمار زیاد نقطه گرهی، برای رسیدن به پاسخ مناسب کافی نیست.

۲- انتخاب درست درجه های آزادی برای گرهها نسبت به گزینش جایگاه گرهها از اهمیت بیشتری برخوردار است. باید دانست، شمار کمتر نقطه گرهی با درجه های آزادی مناسب از تعداد بیشتر نقطه گرهی دارای درجه آزادی نامناسب، پاسخ های بهتری به دست می دهد.

۳- زیاد بودن شمار گرهها بر پهلوی جزء همیشه مناسب نخواهد بود و به سبب محدود کردن گزینش درجه های آزادی جزء، دقت خوبی نخواهد داشت.

۴- برای داشتن درجه آزادی دورانی در گره های گوشه باید از  $\frac{\partial w}{\partial t}$  و  $\frac{\partial w}{\partial y}$  بهره جست و از کاربرد  $\frac{\partial w}{\partial x}$  پرهیز کرد. زیرا، این درجه ها به امتداد پهلوی هر جزء وابسته می باشند و در گره های گوشه تعريف یکتایی ندارند. در گره های گوشه درجه های آزادی  $w$ ،  $\frac{\partial w}{\partial n}$  و  $\frac{\partial w}{\partial y}$  به طور معمول کاربرد دارند و همیشه مناسبند.

۵- برای گره های میان پهلویی، انتخاب درجه های آزادی  $\frac{\partial w}{\partial n}$  مفیدتر از گزینش درجه های آزادی  $\frac{\partial w}{\partial x}$  و  $\frac{\partial w}{\partial y}$  می باشد و پاسخ های بهتری به دست می آید.

۶- برای گره های میان پهلویی، درجه آزادی  $\frac{\partial w}{\partial n}$  مفیدتر از سایر درجه های آزادی می باشد. با این حال، وجود شمار زیاد این درجه آزادی در جزء سبب افت دقت می شود و برای دسترسی به پاسخ مناسب باید تعداد آن محدود باشد.

$$D_m = \frac{Et^3}{12(1-v^2)} \begin{bmatrix} 1 & v & 0 \\ v & 1 & 0 \\ 0 & 0 & \frac{1-v}{2} \end{bmatrix}$$

برای یافتن پاسخ، کارمایه نهفته باید کمینه گردد. با قرار دادن رابطه‌های (۹ و ۱۰) در تابعی کارمایه نهفته و تابع نخستین گیری نسبت به تغییر مکان‌های گرهی، رابطه زیر در دسترس قرار می‌گیرد:

$$\frac{\partial \Pi}{\partial \hat{D}} = 0 \quad (12)$$

$$\left( \int_{\Omega} \hat{B}^T \cdot D_m \cdot \hat{B} d\Omega \right) \hat{D} = \int_{\Omega} \hat{N}^T \cdot F d\Omega - \int_{\Omega} \hat{B}^T \cdot D_m \cdot \tilde{\varepsilon} d\Omega \quad (13)$$

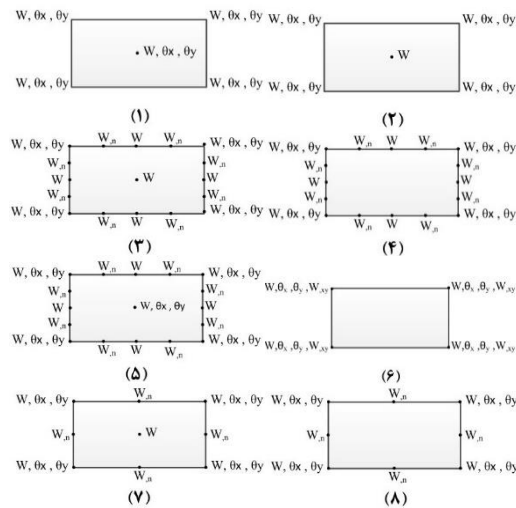
سرانجام، ماتریس سختی  $K$  و بردار بارهای گرهی  $P$  به دست می‌آیند:

$$K = \int_{\Omega} \hat{B}^T \cdot D_m \cdot \hat{B} d\Omega \quad (15)$$

$$P = \int_{\Omega} (\hat{N}^T \cdot F - \hat{B}^T \cdot D_m \cdot \tilde{\varepsilon}) d\Omega \quad (15)$$

## آرایش درجه‌های آزادی جزء‌های ناقص

در نخستین گام این پژوهش، گزینش آرایش درجه‌های آزادی و گره‌ها برای آفرینش جزئی نو انجام می‌پذیرد. پژوهشگران آشکار ساخته‌اند که فقط انتخاب یک تابع با درجه بالا و شماری نقطه گرهی و درجه آزادی کافی نیستند و باید این کارها با هوشیاری ویژه‌ای انجام پذیرند. افزون بر آن، درجه‌های آزادی را باید مناسب با جایگاه هر گره برگزید. از این‌رو، زمانی که پاره‌ای عبارت‌ها از دسته‌های تابع ترفتاز به دلایلی انتخاب نشوند، آن جزء ناقص نامیده می‌شود. نتیجه‌های پژوهش اختری به شرح زیر می‌باشند [۲۶]:



شکل ۱ آرایش‌های درجه آزادی جزء‌های ناقص

با مقدار دادن به  $k$  در رابطه (۳)، سی و یک جمله نخست پاسخ همگن برپایه پیوست یکم در جدول (۱۸) می‌آیند. باید افزود، در روش ترفتاز، شمار جمله‌های انتخابی تابع ترفتاز از رابطه زیر به دست می‌آید [۱۴]:

$$m_T \geq N_{DOF} - m_{RIG} \quad (16)$$

در اینجا،  $N_{DOF}$  شمار درجه آزادی،  $m_{RIG}$  تعداد حرکت‌های جسم سخت و  $m_T$  شمار جمله‌های انتخابی ترفتاز می‌باشد. در شیوه ترفتاز، شرط‌های پیوستگی توسط تابع‌های مرزی تأمین خواهد شد و وجود حرکت‌های جسم سخت در تابع میدان درونی باعث پیدایش حالت‌های صفر و نادرست کارمایه کرنشی و کمبود رتبه ماتریس سختی می‌شود. بهمین دلیل، در روش ترفتاز جمله‌های حرکت جسم سخت از تابع میدان درونی جسم حذف می‌گردند. در این پژوهش، به دلیل نبود تابع مرزی و برای برقرار ساختن شرط‌های پیوستگی، جمله‌های حرکت جسم سخت (۱,x,y) در تابع میدان به کار می‌روند. شمار جمله‌هایی که از جدول باید گرینش شوند از رابطه زیر به دست می‌آید:

۷- برای گره‌های میان‌پهلوی درجه آزادی  $W$  به تنها ی

مفید نیست ولی ترکیب دو درجه آزادی  $W$  و  $\frac{\partial W}{\partial n}$  در این گره‌ها دارای نتیجه‌های بهتری می‌باشد.

۸- برای دسترسی به ترکیب مناسب درجه‌های

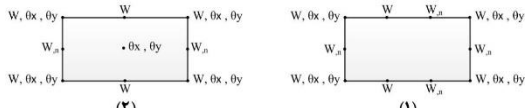
آزادی  $W$  و  $\frac{\partial W}{\partial n}$ ، باید در هر پهلو، افزون بر گره گوش، سه گره میان‌پهلو نیز گزینش شود. در گره میانی، از درجه آزادی  $W$ ، و در دو گره دیگر باید از  $\frac{\partial W}{\partial n}$  بهره جست. تاکنون، این نوع انتخاب درجه آزادی بهترین نتیجه را داشته است.

برای آفرینش جزء‌های نو، آرایش درجه‌های آزادی باتوجه به نتیجه‌های پژوهش اختری انجام می‌پذیرد [۲۶]. خاطرنشان می‌شود، حفظ تقارن در چینش درجه‌های آزادی نسبت به نکته‌های این بخش، در اولویت قرار دارند. شکل (۱) هشت آرایش برگزیده را نمایش می‌دهد. از میان آنها، آرایش‌های ۷ و ۸ نتیجه‌های مناسب دارند که پاسخ‌های آنها در بخش آزمون‌های عددی می‌آیند. سایر آرایش‌ها به دلیل نتیجه نامطلوب حذف می‌شوند. پاسخ‌های نیرویی با خطای زیاد یا هم‌گرا به عدد نادرست و تغییر مکان‌های با خطای نامطلوب از دلیل‌های نامناسب دانستن جزء‌های حذفی می‌باشند. باید افزود، در تمام آرایش‌های حذفی، شمار درجه‌های آزادی و گره‌ها خیلی کم یا خیلی زیاد بودند. برپایه تجربه‌های عددی، همیشه شمار زیاد گره و درجه آزادی تضمین کننده دقت بالا در جزء نخواهد بود. باید افزود، آرایش‌های ۷ و ۸ نسبت به آرایش‌های دیگر از دیدگاه شمار گره و درجه آزادی در یک وضعیت میانه قرار دارند. برخلاف تصور همگان، واکاوی‌های این مقاله نشان خواهد داد که تنها شمار درجه‌های آزادی ملای نمی‌باشد، بلکه جایگاه گره‌ها و درجه‌های آزادی و گونه آنها از اهمیت بیشتری برخوردارند.

برای ارزیابی توانایی جزء های پیشنهادی در یافتن مقدار دقیق تنش و کرنش ثابت، آزمون وصله انجام می پذیرد. در این آزمون، جزء های نویسنده گان پاسخ های دقیق را به دست می دهند. به سخن دیگر، جزء های پیشنهادی به سادگی آزمون های وصله را می گذرانند.

### جزء های کامل

در این بخش، به آفرینش یک جزء نو با تابع میدان کامل پرداخته می شود. هدف از این کار، بررسی اثر کامل بودن تابع میدان ایجاد شده در مقایسه با جزء های ناقص است. جمله های تابع میدان از دسته های پیاپی تابع ترفتز انتخاب خواهد شد و تمامی عبارت های هر دسته را با توجه به شمار درجه های آزادی در بر می گیرد. پس از آن، بر مبنای تابع میدان تشکیل شده و شمار جمله ها، آرایش درجه های آزادی جزء به دست می آید. تابع میدان جزء کامل پیشنهادی از مرتبه ۵ می باشد که ۱۵ عبارت نخست از تابع های ترفتز (چهار دسته نخست پیوست یکم) را در بر می گیرد و با سه حرکت جسم سخت، شمار درجه های آزادی ۱۸ می شود. شکل (۱-۲) و (۲-۲)، دو آرایش درجه های آزادی برگزیده شده برای جزء های، به ترتیب، CTF-18-1 و CTF-18-2 را نشان می دهد. باید دانست، نام گذاری جزء های CTF و ICTF برگرفته از عبارت های "Complete" و "Incomplete Trefftz Function" می باشند.



شکل ۲ آرایش های درجه آزادی جزء های کامل

خطار نشان می شود، در جزء های کامل، انتخاب آرایش درجه آزادی وابسته به شمار جمله های تابع میدان است. در حالی که، تابع میدان جزء های ناقص پس از انتخاب آرایش های درجه آزادی بر پایه معیار های

$$m_T = N_{DOF} - m_{RIG} \quad (17)$$

در گرینش جمله های تابع ترفتز برای جزء های ناقص، عبارت های پیاپی و کامل هر دسته ترفتز برای تابع خیز به کار نمی روند. با وجود این، کوشش بر حفظ تقارن مرتبه تابع میدان نسبت به  $x$  و  $y$  خواهد بود. سرانجام، برای هر کدام از هشت شکل آرایش درجه آزادی، شماری جزء با تابع های میدان متفاوت پیشنهاد می شوند. در مجموع، برای این آرایش های هشت گانه ۶۷۴ عدد تابع میدان متفاوت گزینش خواهد شد. از میان اینها، ۲۲۷ جزء ماتریس هندسی ویژه دارند و حذف می شوند. از ۴۴۷ جزء باقی مانده، در گام نخست، ۶۷ جزء با دقت بهتر انتخاب می گردند. پس از انجام آزمون های عددی فراوان، ده جزء دارای پاسخ های برتر با آرایش تابع میدان جدول (۱) معرفی خواهد شد. از این ده جزء، چهار عدد درجه آزادی دارند و مانند شکل (۱-۱) و با نام های ICTF-17-1 تا ICTF-17-4 می باشند. شش جزء دیگر، آرایش ۱۶ درجه آزادی را همانند شکل (۸-۱) دارند و با ICTF-16-1 تا ICTF-16-6 نام گذاری شده اند. به کوتاه سخن، ده جزء که پاسخ های برتر دارند در این پژوهش معرفی می گردند.

جدول ۱ آرایش جمله های تابع میدان جزء های ناقص

نام جزء	آرایش جمله های تابع میدان
ICTF-16-1	[۲۶ ۲۵ ۲۲ ۲۱ ۱۹ ۱۴ ۱۳ ۱۱ ۷ ۶ ۳ ۲ ۱]
ICTF-16-2	[۲۷ ۲۵ ۲۲ ۲۱ ۱۹ ۱۴ ۱۳ ۱۱ ۷ ۶ ۳ ۲ ۱]
ICTF-16-3	[۲۶ ۲۵ ۲۲ ۲۱ ۱۸ ۱۴ ۱۳ ۱۰ ۷ ۶ ۳ ۲ ۱]
ICTF-16-4	[۲۲ ۲۱ ۱۹ ۱۸ ۱۵ ۱۴ ۱۰ ۹ ۷ ۶ ۳ ۲ ۱]
ICTF-16-5	[۲۷ ۲۵ ۲۲ ۲۱ ۱۸ ۱۴ ۱۳ ۱۰ ۷ ۶ ۳ ۲ ۱]
ICTF-16-6	[۲۷ ۲۵ ۲۲ ۲۱ ۱۸ ۱۵ ۱۴ ۱۰ ۷ ۶ ۳ ۲ ۱]
ICTF-17-1	[۲۷ ۲۲ ۲۱ ۱۹ ۱۷ ۱۵ ۱۴ ۱۰ ۹ ۷ ۶ ۳ ۲ ۱]
ICTF-17-2	[۲۷ ۲۲ ۲۱ ۱۹ ۱۷ ۱۵ ۱۴ ۱۱ ۹ ۷ ۶ ۳ ۲ ۱]
ICTF-17-3	[۲۷ ۲۲ ۲۱ ۱۸ ۱۶ ۱۵ ۱۴ ۱۰ ۹ ۷ ۶ ۳ ۲ ۱]
ICTF-17-4	[۳۰ ۲۹ ۲۷ ۲۲ ۲۱ ۱۷ ۱۵ ۱۴ ۱۰ ۷ ۶ ۳ ۲ ۱]

(جزء سه پهلو با ۹ درجه آزادی برپایه نگره رایزner-میندلین) و [2] ARS-Q12 (جزء چهارپهلو با ۱۲ درجه آزادی برپایه نگره میندلین- رایزner) و همچنین، برای بارگذاری متمرکز گرهی با جزءهای DKQ[13,28] ACM[30] (جزء چهارپهلوی ناسازگار صفحه کیرشهف با ۱۲ درجه آزادی) و [30] RGC-12 (جزء چهارپهلوی سازگار صفحه خمشی نازک با ۱۲ درجه آزادی) مقایسه خواهد شد. باید افزود، در تمامی آزمونها خیز و لنگر بی بعد و مستقل از اندازه شدت بار و بعدهای صفحه هستند.

### صفحة مربعی با بار گسترده یکنواخت

در نخستین آزمون، صفحه‌ای مربعی با پهلوی  $a$  زیر اثر بار گسترده یکنواخت  $q$ ، با شرط‌های تکیه‌گاهی متفاوت تحلیل می‌گردد. نتیجه جابه‌جایی و لنگر مرکز صفحه مربعی ( $a=b$ ) برای جزءهای پیشنهادی در حالتهای گوناگون در جدول‌های (۳ و ۴) آمده‌اند. همچنین، شکل‌های (۳-۵)، نمودارهای هم‌گرایی خیز و لنگرها برای حالت یکلبه‌گیردار و سه‌لبه‌ساده را نشان می‌دهند.

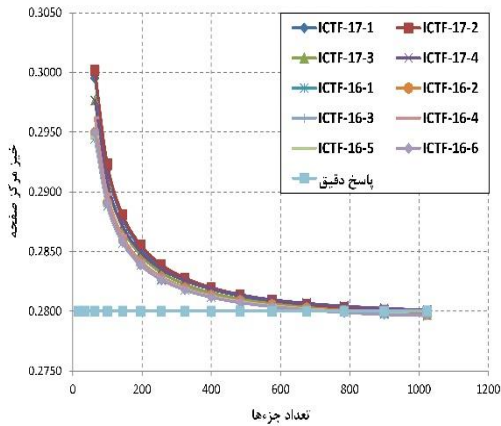
درجه‌های آزادی برتر، به دست می‌آید. ازین‌رو، پس از آزمودن آرایش‌های ممکن، گونه‌هایی که ماتریس هندسی ویژه و کمبود رتبه دارند حذف می‌شوند. از میان آنها، دو آرایش شکل (۲) در نهایت انتخاب شده‌اند.

### آزمون‌های عددی

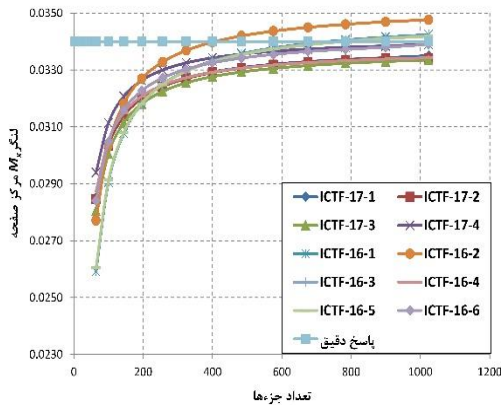
در این بخش، حل چند نمونه عددی برای راستی آزمایی جزءهای پیشنهادی می‌آید. با بارگذاری‌های متقارن و نامتقارن، مانند بار گسترده یکنواخت، بار متمرکز، بار سینوسی و بار مثلثی، آزمون‌های گوناگونی انجام می‌پذیرد. گونه‌های متفاوت شرط‌های تکیه‌گاهی مانند تکیه‌گاههای کیرداری، ساده، لبه آزاد و ستون در گوش‌ها به صورت متقارن و نامتقارن به کار می‌روند. باید دانست، پاسخ‌های خصوصی جدول (۲) فقط به بارگذاری جزء بستگی دارد و شرط‌های تکیه‌گاهی بروی آنها بی‌اثر می‌باشد. در آزمون‌هایی که نسبت پواسون ذکر نشده است برابر با  $0.3$  می‌باشد. خاطرنشان می‌شود، پاسخ‌های دقیق مسئله‌ها در دست هستند [27]. باید افزود، در حالت تکیه‌گاههای تمام‌کیردار و تمام‌ساده، پاسخ‌ها برای بار گسترده با نتیجه جزءهای DKQ[28,13] ARS-T9[29] چهارپهلوی صفحه کیرشهف ناپیوسته،

جدول ۲ پاسخ‌های خصوصی صفحه مستطیلی با بارگذاری‌های متفاوت

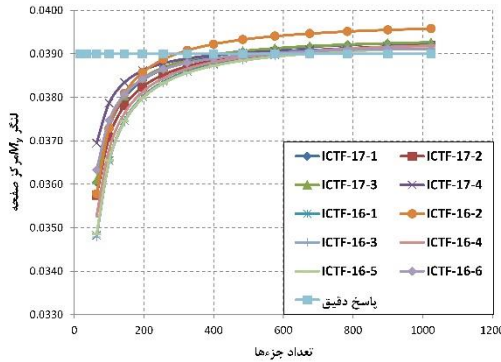
بارگذاری	پاسخ خصوصی معادله ایستایی
بار گسترده یکنواخت با شدت $q$	$W_p = \frac{q}{64D} (x^2 + y^2)^2$
بار متمرکز $P$ با محل اثر $(x_p, y_p)$ در صفحه	$W_p = \frac{q}{64D} r_p^2 \ln(r_p^2) \quad r_p^2 = (x - x_p)^2 + (y - y_p)^2$
بار سینوسی روی صفحه مستطیلی به بعدهای $a$ و $b$	$W_p = (q_0 / \pi^4 D (\frac{1}{a^2} + \frac{1}{b^2})) \sin(\frac{\pi x}{a}) \sin(\frac{\pi y}{b})$
بار مثلثی روی صفحه مربعی با طول پهلوی $a$	$W_p = \frac{q_0}{192aD} x(x^2 + y^2)^2$



شکل ۳ هم‌گرایی خیز مرکز صفحه مربعی با یک تکیه‌گاه گیردار و سه تکیه‌گاه ساده و بار گسترده یکنواخت ( $w_c/(qa^4/100D)$ )



شکل ۴ هم‌گرایی لنگر  $M_x$  در مرکز صفحه مربعی با یک تکیه‌گاه گیردار و سه تکیه‌گاه ساده و بار گسترده یکنواخت ( $M_c/(qa^2/10)$ )



شکل ۵ هم‌گرایی لنگر  $M_y$  مرکز صفحه مربعی با یک تکیه‌گاه گیردار و سه تکیه‌گاه ساده و بار گسترده یکنواخت ( $M_c/(qa^2/10)$ )

جدول ۳ خیز مرکز صفحه مربعی با تکیه‌گاه‌های ساده زیر اثر

بار گسترده یکنواخت (پاسخ دقیق)

شبکه	۳۲*۳۲	۱۶*۱۶	۸*۸
ICTF-17-1	۰/۰۴۰۸۵	۰/۰۴۱۶۱	۰/۰۴۴۵۸
ICTF-17-2	۰/۰۴۰۸۶	۰/۰۴۱۶۲	۰/۰۴۴۶۱
ICTF-17-3	۰/۰۴۰۹۰	۰/۰۴۱۶۷	۰/۰۴۴۶۷
ICTF-17-4	۰/۰۴۰۸۶	۰/۰۴۱۵۸	۰/۰۴۴۴۴
ICTF-16-1	۰/۰۴۰۸۷	۰/۰۴۱۵۷	۰/۰۴۴۳۷
ICTF-16-2	۰/۰۴۰۸۸	۰/۰۴۱۵۹	۰/۰۴۴۴۰
ICTF-16-3	۰/۰۴۰۸۷	۰/۰۴۱۵۷	۰/۰۴۴۳۷
ICTF-16-4	۰/۰۴۰۸۶	۰/۰۴۱۵۶	۰/۰۴۴۳۷
ICTF-16-5	۰/۰۴۰۸۷	۰/۰۴۱۵۷	۰/۰۴۴۳۸
ICTF-16-6	۰/۰۴۰۸۴	۰/۰۴۱۵۴	۰/۰۴۴۲۹
DKQ	۰/۰۴۰۶۲	۰/۰۴۰۶۲	۰/۰۴۰۶۰
ARS-T9	۰/۰۴۰۵۷	۰/۰۴۰۴۱	۰/۰۳۹۷۳
ARS-Q12	۰/۰۴۰۶۲	۰/۰۴۰۶۲	۰/۰۴۰۶۰
پاسخ دقیق	۰/۰۴۰۶۲		

جدول ۴ لنگر در مرکز صفحه مربعی با تکیه‌گاه ساده زیر

اثر بار گسترده یکنواخت (پاسخ دقیق)

شبکه	۳۲*۳۲	۱۶*۱۶	۸*۸
ICTF-17-1	۰/۰۴۷۹	۰/۰۴۷۵	۰/۰۴۵۵
ICTF-17-2	۰/۰۴۷۹	۰/۰۴۵۷	۰/۰۴۵۵
ICTF-17-3	۰/۰۴۷۷	۰/۰۴۷۴	۰/۰۴۶۳
ICTF-17-4	۰/۰۴۷۹	۰/۰۴۷۳	۰/۰۴۵۱
ICTF-16-1	۰/۰۴۷۹	۰/۰۴۷۳	۰/۰۴۴۷
ICTF-16-2	۰/۰۴۸۴	۰/۰۴۷۸	۰/۰۴۵۵
ICTF-16-3	۰/۰۴۷۹	۰/۰۴۷۲	۰/۰۴۴۵
ICTF-16-4	۰/۰۴۷۹	۰/۰۴۷۲	۰/۰۴۴۶
ICTF-16-5	۰/۰۴۷۹	۰/۰۴۷۲	۰/۰۴۴۶
ICTF-16-6	۰/۰۴۷۸	۰/۰۴۷۴	۰/۰۴۵۷
DKQ	۰/۰۴۷۹	۰/۰۴۸۰	۰/۰۴۸۴
ARS-T9	۰/۰۴۷۹	۰/۰۴۸۰	۰/۰۴۸۲
ARS-Q12	۰/۰۴۷۹	۰/۰۴۸۰	۰/۰۴۸۴
پاسخ دقیق	۰/۰۴۷۹		

جدول ۶ خیز مرکز صفحه مربعی با تکیه‌گاه‌های ساده زیر اثر  
( $w_c/(pa^2/10D)$ ) بار متمنکز میانی

۳۲*۳۲	۱۶*۱۶	۸*۸	شبکه
۰/۱۱۶۰	۰/۱۱۵۸	۰/۱۱۵۴	ICTF-17-1
۰/۱۱۶۰	۰/۱۱۵۸	۰/۱۱۵۵	ICTF-17-2
۰/۱۱۵۹	۰/۱۱۵۶	۰/۱۱۴۶	ICTF-17-3
۰/۱۱۶۱	۰/۱۱۶۰	۰/۱۱۵۷	ICTF-17-4
۰/۱۱۵۹	۰/۱۱۵۴	۰/۱۱۴۰	ICTF-16-1
۰/۱۱۵۹	۰/۱۱۵۵	۰/۱۱۴۲	ICTF-16-2
۰/۱۱۵۹	۰/۱۱۵۴	۰/۱۱۳۸	ICTF-16-3
۰/۱۱۵۹	۰/۱۱۵۴	۰/۱۱۳۹	ICTF-16-4
۰/۱۱۵۹	۰/۱۱۵۴	۰/۱۱۴۱	ICTF-16-5
۰/۱۱۵۹	۰/۱۱۵۲	۰/۱۱۳۵	ICTF-16-6
-	-	۰/۱۱۹۴	DKQ
-	۰/۱۱۶۷	۰/۱۱۸۳	ACM
-	۰/۱۱۵۹	۰/۱۱۵۵	RGC-12
۰/۱۱۶۰		پاسخ دقیق	

### صفحة مربعی با بار متمنکز میانی

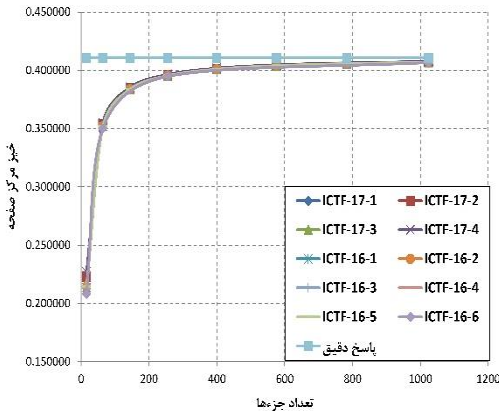
در این بخش، سازه آزمون پیشین برای بار متمنکز P در مرکز صفحه واکاوی می‌شود. تمام تکیه‌گاه‌های صفحه گیردار و یا ساده می‌باشند. جدول‌های (۵) و (۶) پاسخ‌های خیز در مرکز صفحه را در دسترس قرار می‌دهند. باید دانست، لنگر در مرکز سازه و در نقطه محل اثر بار متمنکز به بی‌نهایت میل می‌کند و قابل محاسبه نیست.  
همانند مثال پیشین با بار گسترده، در حالت بارگذاری متمنکز نیز، جزء‌های پیشنهادی از جزء‌های RGC-12[30]، ACM[30] و DKQ[13,28] تواناتر بودند. همان‌گونه که پیش از این اشاره شد، جزء‌های ICTF-16-3 و ۵ ICTF-16-1 و ۲ ICTF-17-1، تفاوتی مشابه در عبارت‌های انتخابی دسته ۲ دارند. با بررسی دو جزء ICTF-17-1 و ۲ ICTF-17-1، آشکار می‌شود که به دلیل

نتیجه جدول‌های (۳) و (۴)، برتری جزء‌های پیشنهادی را نشان می‌دهند. آشکار است، جزء‌های ICTF با شبکه ۱۶\*۱۶ هم پاسخ‌های بسیار قابل قبولی ارائه می‌دهند که این ویژگی را جزء‌های ARS-T12[2] و ARS-T9[29] و DKQ[28,13] ندارند. از سوی دیگر، با مقایسه دوبعدی و آرایش جزء‌های ICTF-16-1 و ۲ و ICTF-16-3 و همچنین ۳ و ۵ ICTF-16-5 و ICTF-16-2 و ICTF-16-4 و ICTF-16-6 که دوبعدی آنها فقط در یک عبارت از دسته زوج تفاوت دارند، می‌توان دریافت که عبارت‌های دربرگیرنده جمله‌های  $x^n$  و  $y^n$  پاسخ‌های سخت‌تری دارند. همچنین، این اثرها با بالا رفتن مرتبه افزایش می‌یابند.

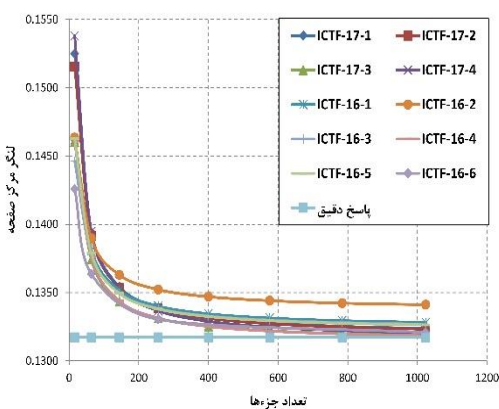
جدول ۵ خیز مرکز صفحه مربعی با تکیه‌گاه‌های گیردار زیر اثر  
( $w_c/(pa^2/100D)$ ) بار متمنکز میانی

۳۲*۳۲	۱۶*۱۶	۸*۸	شبکه
۰/۵۶۰۵	۰/۵۵۹۰	۰/۵۵۴۴	ICTF-17-1
۰/۵۶۰۶	۰/۵۵۹۳	۰/۵۵۴۷	ICTF-17-2
۰/۵۶۰۰	۰/۵۵۶۴	۰/۵۴۵۷	ICTF-17-3
۰/۵۶۱۵	۰/۵۵۹۶	۰/۵۵۳۹	ICTF-17-4
۰/۵۵۹۲	۰/۵۵۴۴	۰/۵۳۷۹	ICTF-16-1
۰/۵۵۹۷	۰/۵۵۵۵	۰/۵۴۱۰	ICTF-16-2
۰/۵۵۹۲	۰/۵۵۴۱	۰/۵۳۶۵	ICTF-16-3
۰/۵۵۹۹	۰/۵۵۴۳	۰/۵۳۸۴	ICTF-16-4
۰/۵۵۹۵	۰/۵۵۴۸	۰/۵۳۹۳	ICTF-16-5
۰/۵۵۹۰	۰/۵۵۲۷	۰/۵۳۳۵	ICTF-16-6
-	-	۰/۵۸۹۵	DKQ
-	۰/۵۶۷۲	۰/۵۸۰۳	ACM
-	۰/۵۵۹۶	۰/۵۰۰۵۰	RGC-12
۰/۵۶۰۵		پاسخ دقیق	

خواهد بود، به گونه‌ای که تمامی جمله‌ها از آن مرتبه را دربرگیرد.



شکل ۶ هم‌گرایی خیز در مرکز صفحه مربعی با تکیه‌گاه ساده زیر اثر بار سینوسی دوطرفه



شکل ۷ هم‌گرایی لنگر در مرکز صفحه مربعی با تکیه‌گاه ساده زیر اثر بار سینوسی دوطرفه

### صفحة مربعی زیر اثر فشار مثلثی

این بار، صفحه مربعی با پهلوی  $a$  زیر اثر فشار مثلثی  $q = q_0 x/a$ ، با تکیه‌گاه‌های متقارن تمام‌ساده و همچنین نامتقارن یک‌لبه‌گیردار و سه‌لبه‌ساده تحلیل می‌گردد. باید دانست، در حالت یک‌لبه‌گیردار و سه‌لبه‌ساده، پهلوی BC در شکل (۸) گیردار خواهد بود. پاسخ‌های خیز و لنگر گره میانی صفحه در جدول‌های (۸-۱۰) نمایش داده شده‌اند. همچنین، نمودار هم‌گرایی خیز و لنگر در حالت تکیه‌گاه ساده در

اختلاف در دسته‌های مرتبه پایین، پاسخ‌ها تفاوت چندانی ندارند. از سوی دیگر، این اثر در مقایسه جزء‌های ICTF-16-3 و ICTF-16-5، که تفاوت در عبارت‌های دسته‌های بالا دارند، بیشتر دیده می‌شود.

جدول ۷ خیز مرکز صفحه مربعی با تکیه‌گاه‌های گیردار زیر اثر بار سینوسی دوطرفه ( $w_c/q_0 a^4/100D$ )

شبکه	$۳۲*۳۲$	$۱۶*۱۶$	$۸*۸$
ICTF-17-1	۰/۰۹۱۴	۰/۰۹۱۱	۰/۰۹۰۵
ICTF-17-2	۰/۰۹۱۴	۰/۰۹۱۲	۰/۰۹۰۶
ICTF-17-3	۰/۰۹۱۲	۰/۰۹۰۸	۰/۰۸۹۴
ICTF-17-4	۰/۰۹۱۴	۰/۰۹۱۲	۰/۰۹۰۲
ICTF-16-1	۰/۰۹۱۲	۰/۰۹۰۷	۰/۰۸۸۶
ICTF-16-2	۰/۰۹۱۲	۰/۰۹۰۷	۰/۰۸۸۹
ICTF-16-3	۰/۰۹۱۲	۰/۰۹۰۷	۰/۰۸۸۶
ICTF-16-4	۰/۰۹۱۲	۰/۰۹۰۷	۰/۰۸۸۷
ICTF-16-5	۰/۰۹۱۲	۰/۰۹۰۷	۰/۰۸۸۸
ICTF-16-6	۰/۰۹۱۱	۰/۰۹۰۵	۰/۰۸۷۹
پاسخ دقیق	۰/۰۹۱۳		

### صفحة مربعی با بار سینوسی دوطرفه

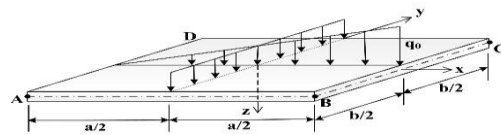
در این آزمون، یک صفحه مربعی با پهلوی  $a$  زیر اثر بار سینوسی دوطرفه،  $q = q_0 \sin(\pi x/a) \sin(\pi y/b)$  تکیه‌گاهی ساده و گیردار تحلیل می‌گردد. نتیجه جابه‌جایی مرکز صفحه مربعی ( $a=b$ ) برای جزء‌های پیشنهادی در جدول (۷) درج شده‌اند. از سوی دیگر، نمودارهای هم‌گرایی خیز و لنگر برای صفحه تکیه‌گاه‌های ساده، در شکل‌های (۶) و (۷) نمایان می‌باشد. نسبت پواسون نیز، برابر با  $0.2$  است.

پس از حل چندین مسئله و بررسی آرایش جزء‌های، بهتر است که جمله‌های تابع خیز از دسته‌های با شماره فرد هم‌وزن باشند. چون در دسته‌های فرد هر عبارت به تنها یکی متقارن نیست، انتخاب دو عبارت بهتر

جدول ۱۰ لنگر  $M_y$  در مرکز صفحه مربعی با یک لبه گیردار و سه لبه ساده زیر اثر بار مثلثی ( $M_y/(q_0 a^2)$ )

۳۲*۳۲	۱۶*۱۶	۸*۸	شبکه
۰/۰۱۵۹	۰/۰۱۵۸	۰/۰۱۵۶	ICTF-17-1
۰/۰۱۵۹	۰/۰۱۵۸	۰/۰۱۵۶	ICTF-17-2
۰/۰۱۵۸	۰/۰۱۵۸	۰/۰۱۵۶	ICTF-17-3
۰/۰۱۵۸	۰/۰۱۵۸	۰/۰۱۶۰	ICTF-17-4
۰/۰۱۵۸	۰/۰۱۵۸	۰/۰۱۵۴	ICTF-16-1
۰/۰۱۶۰	۰/۰۱۶۰	۰/۰۱۵۶	ICTF-16-2
۰/۰۱۵۸	۰/۰۱۵۷	۰/۰۱۵۳	ICTF-16-3
۰/۰۱۵۸	۰/۰۱۵۷	۰/۰۱۵۱	ICTF-16-4
۰/۰۱۵۸	۰/۰۱۵۷	۰/۰۱۵۴	ICTF-16-5
۰/۰۱۵۸	۰/۰۱۵۷	۰/۰۱۵۵	ICTF-16-6
۰/۰۱۶		پاسخ دقیق	

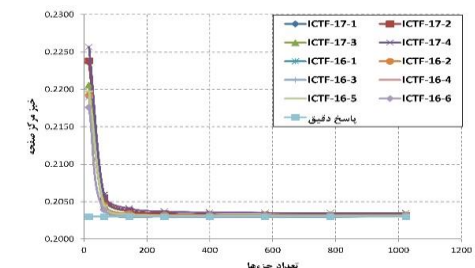
شکل های ۹ و ۱۰ آمده است. باید افزود، در حالتی که چهارپهلوی صفحه تکیه گاه ساده دارند، نسبت پواسون برابر  $۰/۲$  درنظر گرفته می شود.



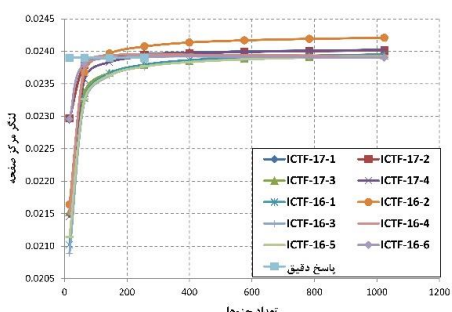
شکل ۸ صفحه مربعی با بارگذاری مثلثی

جدول ۸ خیز مرکز صفحه مربعی با یک لبه گیردار و سه لبه ساده زیر اثر بار مثلثی ( $w_c/(q_0 a^4/100D)$ )

۳۲*۳۲	۱۶*۱۶	۸*۸	شبکه
۰/۱۲۸۴	۰/۱۲۸۴	۰/۱۲۸۹	ICTF-17-1
۰/۱۲۸۵	۰/۱۲۸۴	۰/۱۲۹۰	ICTF-17-2
۰/۱۲۸۳	۰/۱۲۸۰	۰/۱۲۶۷	ICTF-17-3
۰/۱۲۸۷	۰/۱۲۸۷	۰/۱۲۹۹	ICTF-17-4
۰/۱۲۸۴	۰/۱۲۸۳	۰/۱۲۸۴	ICTF-16-1
۰/۱۲۸۴	۰/۱۲۸۴	۰/۱۲۸۶	ICTF-16-2
۰/۱۲۸۴	۰/۱۲۸۳	۰/۱۲۸۴	ICTF-16-3
۰/۱۲۸۳	۰/۱۲۸۰	۰/۱۲۷۶	ICTF-16-4
۰/۱۲۸۴	۰/۱۲۸۳	۰/۱۲۸۵	ICTF-16-5
۰/۱۲۸۳	۰/۱۲۷۹	۰/۱۲۷۱	ICTF-16-6
۰/۱۳		پاسخ دقیق	



شکل ۹ همگرایی خیز در مرکز صفحه مربعی با تکیه گاه ساده زیر اثر بار مثلثی

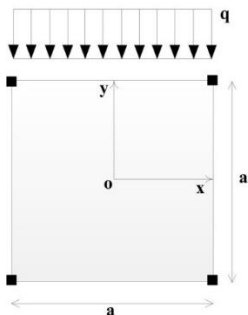


شکل ۱۰ همگرایی لنگر در مرکز صفحه مربعی با تکیه گاه ساده زیر اثر بار مثلثی

پس از انجام واکاوی های گستردگی، نتیجه های زیر در دسترس قرار گرفتند:

جدول ۹ لنگر  $M_x$  در مرکز صفحه مربعی با یک لبه گیردار و سه لبه ساده زیر اثر بار مثلثی ( $M_x/(q_0 a^2)$ )

۳۲*۳۲	۱۶*۱۶	۸*۸	شبکه
۰/۰۱۸۹	۰/۰۱۸۹	۰/۰۱۸۷	ICTF-17-1
۰/۰۱۸۹	۰/۰۱۸۹	۰/۰۱۸۷	ICTF-17-2
۰/۰۱۸۸	۰/۰۱۸۸	۰/۰۱۸۸	ICTF-17-3
۰/۰۱۹۰	۰/۰۱۹۰	۰/۰۱۸۸	ICTF-17-4
۰/۰۱۹۳	۰/۰۱۹۳	۰/۰۱۸۹	ICTF-16-1
۰/۰۱۹۶	۰/۰۱۹۵	۰/۰۱۹۱	ICTF-16-2
۰/۰۱۹۳	۰/۰۱۹۳	۰/۰۱۸۸	ICTF-16-3
۰/۰۱۸۸	۰/۰۱۸۷	۰/۰۱۸۴	ICTF-16-4
۰/۰۱۹۳	۰/۰۱۹۳	۰/۰۱۸۹	ICTF-16-5
۰/۰۱۹۰	۰/۰۱۹۰	۰/۰۱۸۵	ICTF-16-6
۰/۰۱۹۰		پاسخ دقیق	



شکل ۱۱ صفحه مربعی با چهار ستون در گوشها زیر اثر بار گسترده یکنواخت

جدول ۱۱ خیز مرکز صفحه مربعی با چهار ستون در گوشها ( $w_c/(qa^4/10D)$ )

شبکه	ICTF-17-1	ICTF-17-2	ICTF-17-3	ICTF-17-4	ICTF-16-1	ICTF-16-2	ICTF-16-3	ICTF-16-4	ICTF-16-5	ICTF-16-6	T 13-5[31]	BCIZ[32]	Cheung[33]
۰/۲۵۶۹	۰/۲۵۷۸	۰/۲۶۵۸											
۰/۲۵۶۹	۰/۲۵۷۹	۰/۲۶۵۸											
۰/۲۵۶۸	۰/۲۵۷۸	۰/۲۶۵۷											
۰/۲۵۷۳	۰/۲۵۸۳	۰/۲۶۶۱											
۰/۲۵۶۹	۰/۲۵۷۸	۰/۲۶۵۶											
۰/۲۵۶۹	۰/۲۵۷۹	۰/۲۶۵۶											
۰/۲۵۶۹	۰/۲۵۷۹	۰/۲۶۵۶											
۰/۲۵۶۸	۰/۲۵۷۸	۰/۲۶۵۵											
۰/۲۵۶۹	۰/۲۵۷۸	۰/۲۶۵۶											
۰/۲۵۶۹	۰/۲۵۷۹	۰/۲۶۵۶											
۰/۲۵۶۹	۰/۲۵۷۹	۰/۲۶۵۶											
۰/۲۵۶۸	۰/۲۵۷۸	۰/۲۶۵۴											
۰/۲۵۷۳													
۰/۲۴۴													
۰/۲۳۶													

### صفحة مربعی با چهار ستون در گوشها

در این مثال همانند شکل (۱۱) صفحه‌ای مربع شکل، که بر روی چهار ستون در گوشها سازه قرار دارد، تحلیل می‌گردد. بار وارد بر صفحه به صورت گسترده یکنواخت به شدت  $q$  می‌باشد. طول هر پهلوی صفحه برابر با  $a$  است. تکیه‌گاه‌های صفحه فقط در چهار گوشه هستند و تکیه‌گاه ساده فرض می‌شوند. شرط‌های مرزی در این نقطه‌ها فقط صفر بودن تغییرمکان قائم می‌باشد ( $w=0$ ). جدول (۱۱)

-۱- در آرایش ۷ از شکل (۱)، به‌سبب وجود گره میانی و افزایش شمار درجه آزادی نسبت به آرایش شکل (۱-۸)، با ریز شدن شبکه‌بندی، پاسخ‌ها به مقدار دقیق نزدیک‌تر می‌شوند.

-۲- از بررسی رفتار جزء ۴-۱۷ ICTF نسبت به سایر جزء‌ها می‌توان نتیجه گرفت، بهره‌جویی از دسته‌های بالاتر پاسخ معادله ایستایی و افزایش مرتبه جمله‌ها در تابع میدان، به بهبود نرخ هم‌گرایی کمک می‌کند. باید افزود، دسته‌های با شماره  $k$  در جدول (۱۸) پیوست مشخص شده‌اند و منظور از دسته‌های بالاتر، دسته با شماره  $k$  بزرگ‌تر است.

-۳- در دسته‌های با شماره  $k$  زوج در جدول (۱۸)، هر یک از چهار عبارت دسته، جمله‌هایی با مرتبه متقابل دارند. از این‌رو، انتخاب تنها یک عبارت از آن دسته می‌تواند کافی باشد و انتخاب شمار بیشتر آنها اختیاری است.

-۴- در دسته‌های زوج عبارتی که دارای جمله‌های  $x^n$  و  $y^n$  می‌باشد، پاسخ‌های سخت‌تری نسبت به آنها می‌باشد، پاسخ‌های سخت‌تری نسبت به آنها می‌باشد. این جمله‌ها را دربر نمی‌گیرند، نتیجه می‌دهد. باید دانست، زمانی که نمودار هم‌گرایی از بالا به پاسخ دقیق نزدیک شده است، این جزء سریع‌تر هم‌گرا می‌شود. از سوی دیگر، برای حالتی که هم‌گرایی از پایین باشد، نرخ هم‌گرایی کاهش می‌یابد. خاطرنشان می‌شود، در دسته‌های بالاتر، اثر این عامل بیشتر است.

-۵- در صورت انتخاب دو عبارت از دسته‌های زوج، آن دو تایی برداشته می‌شوند که تمامی جمله‌ها از آن مرتبه را دربر گیرند. برای نمونه، در دسته شماره ۶، دو عبارت ۲۵ و ۲۶ یا ۲۶ و ۲۷ یا ۲۷ و ۲۵ بهتر هستند.

همانگونه که جدول‌های (۱۳) و (۱۴) نشان می‌دهند، نرخ همگرایی جزء‌های کامل بسیار کنترل از جزء‌های ناقص است. به خاطر باید سپرد که شمار درجه‌های آزادی جزء‌های کامل بیشتر می‌باشد.

جدول ۱۲ خیز مرکز صفحه مربعی با دو ستون در گوش و یک لبه ساده و بار گسترده یکنواخت ( $w_c/(qa^4/10D)$ )

۲۰*۲۰	۱۶*۱۶	۸*۸	شبکه
۰/۱۸۴۸	۰/۱۸۵۶	۰/۱۹۱۹	ICTF-17-1
۰/۱۸۴۹	۰/۱۸۵۶	۰/۱۹۱۹	ICTF-17-2
۰/۱۸۴۸	۰/۱۸۵۶	۰/۱۹۱۷	ICTF-17-3
۰/۱۸۴۹	۰/۱۸۵۶	۰/۱۹۱۹	ICTF-17-4
۰/۱۸۴۹	۰/۱۸۵۶	۰/۱۹۱۸	ICTF-16-1
۰/۱۸۴۹	۰/۱۸۵۷	۰/۱۹۱۹	ICTF-16-2
۰/۱۸۴۹	۰/۱۸۵۶	۰/۱۹۱۸	ICTF-16-3
۰/۱۸۴۸	۰/۱۸۵۵	۰/۱۹۱۷	ICTF-16-4
۰/۱۸۴۹	۰/۱۸۵۶	۰/۱۹۱۹	ICTF-16-5
۰/۱۸۴۸	۰/۱۸۵۵	۰/۱۹۱۵	ICTF-16-6
۰/۱۸۵۲		T 13-5[31]	
۰/۰/۱۷۵		Cheung&Chan[33]	

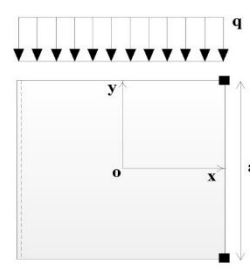
جدول ۱۳ خیز مرکز صفحه مربعی با تکیه‌گاه ساده و گیردار و بار گسترده یکنواخت ( $w_c/(qa^4/100D)$ )

۳۲*۳۲	۱۶*۱۶	۸*۸	شبکه
۰/۱۹۲۰	۰/۱۹۳۵	۰/۱۹۸۹	ICTF-17-1
۰/۱۹۲۱	۰/۱۹۳۷	۰/۱۹۹۶	ICTF-17-2
۰/۱۹۲۱	۰/۱۹۳۱	۰/۱۹۷۱	ICTF-17-3
۰/۱۹۲۳	۰/۱۹۳۴	۰/۱۹۷۷	ICTF-17-4
۰/۱۹۱۹	۰/۱۹۲۲	۰/۱۹۳۵	ICTF-16-1
۰/۱۹۲۰	۰/۱۹۲۴	۰/۱۹۳۹	ICTF-16-2
۰/۱۹۱۹	۰/۱۹۲۳	۰/۱۹۳۶	ICTF-16-3
۰/۱۹۲۰	۰/۱۹۲۷	۰/۱۹۵۴	ICTF-16-4
۰/۱۹۱۹	۰/۱۹۲۳	۰/۱۹۳۸	ICTF-16-5
۰/۱۹۱۹	۰/۱۹۲۴	۰/۱۹۴۵	ICTF-16-6
۰/۱۹۳۳	۰/۱۹۶۷	۰/۲۰۵۶	CTF-18-1
۰/۱۹۳۳	۰/۱۹۹۹	۰/۲۲۳۸	CTF-18-2
۰/۱۹۲۰		پاسخ دقیق	

در برگیرنده نتیجه خیز مرکز صفحه در ادامه آمده است. در این جدول پاسخ جزء‌های پیشنهادی با پاسخ جزء محدود رضائی پژند و اختری [31] با ۷۲ جزء متشی [32] Chan با ۷۲ جزء Cheung و BCIZ با ۱۶ جزء ۸ گرهی مقایسه شده‌اند و می‌توان دریافت که پاسخ جزء‌های پیشنهادی با جزء‌های شناخته شده هم‌خوانی دارد.

### صفحه مربعی با دو ستون در گوشها و یک لبه تکیه‌گاه ساده

در این مثال، صفحه‌ی مربعی شکل (۱۲) با تکیه‌گاه ساده در پهلوی سمت چپ و دو ستون در دو گوشه روبرو و بار گسترده یکنواخت با شدت  $q$  مورد تحلیل قرار می‌گیرد. جدول (۱۲) گویای نتیجه‌های بدست آمده برای خیز میانه صفحه می‌باشد. پاسخ‌ها با شبکه ۸ جزئی (جزء‌های ۱۰ گرهی) Chan و Cheung [33] و ۷۲ جزئی رضائی پژند و اختری [31] مقایسه شده‌اند و مشاهده می‌شود که نتیجه‌ها نسبت به یکدیگر خطای کمی دارند.



شکل ۱۲ صفحه مربعی با دو ستون در گوشها و یک لبه تکیه‌گاه ساده و بار گسترده یکنواخت

### مقایسه جزء‌های کامل و جزء‌های ناقص

در این بخش، پاسخ جزء‌های کامل و جزء‌های ناقص با حل یک مسئله با یکدیگر مقایسه می‌شوند. صفحه مربعی آزمون‌های پیشین، با دو تکیه‌گاه گیردار در دو پهلوی روبرو و دو تکیه‌گاه ساده در دو لبه دیگر و بارگذاری گسترده یکنواخت تحلیل می‌گردد.

رتبه‌بندی شده‌اند. به دلیل گستردگی حجم کار، تنها به ارائه چند نمونه مهم و کارا در این مقاله بسنده گردید. در تمامی مسئله‌ها، دو رتبه نیرویی و تغییرمکانی از ۱ تا ۱۰ به هر جزء داده شده است که بهترین جزء در رتبه یک قرار دارد. این رده‌بندی برپایه خطای پاسخ و نرخ هم‌گرایی استوار می‌باشد. در جدول‌های (۱۵) و (۱۶)، شمار مسئله‌هایی را نشان می‌دهد که در آنها جزء ۱ رتبه زرا گرفته است. بر این پایه، مرتبه کلی جزء در ارائه نیرو و تغییرمکان از رابطه‌های (۱۸) و (۱۹) به دست می‌آیند و در جدول (۱۷) نشان داده شده است. باید دانست، از ۱۶ نمونه عددی تنها برای ۱۱ مسئله نیروها حساب شدند و تنها در سه نمونه، مقدار  $M_y$  و  $M_x$  برابر نبودند.

جدول ۱۴ لنگر  $M_x$  در مرکز صفحه مربعی با تکیه‌گاه ساده و گیردار و بار گستردۀ یکنواخت ( $M_c / qa^2 / 10$ )

شبکه	۸*۸	۱۶*۱۶	۳۲*۳۲
ICTF-17-1	۰/۰۱۸۱	۰/۰۲۲۸	۰/۰۲۴۳
ICTF-17-2	۰/۰۱۸۱	۰/۰۲۲۸	۰/۰۲۴۳
ICTF-17-3	۰/۰۱۷۶	۰/۰۲۲۷	۰/۰۲۴۰
ICTF-17-4	۰/۰۱۸۵	۰/۰۲۳۱	۰/۰۲۴۳
ICTF-16-1	۰/۰۱۵۶	۰/۰۲۲۸	۰/۰۲۴۶
ICTF-16-2	۰/۰۱۷۳	۰/۰۲۳۵	۰/۰۲۵۱
ICTF-16-3	۰/۰۱۵۷	۰/۰۲۲۹	۰/۰۲۴۶
ICTF-16-4	۰/۰۱۸۱	۰/۰۲۲۸	۰/۰۲۳۹
ICTF-16-5	۰/۰۱۵۷	۰/۰۲۲۹	۰/۰۲۴۶
ICTF-16-6	۰/۰۱۸۱	۰/۰۲۳۱	۰/۰۲۴۳
CTF-18-1	۰/۰۱۹۸	۰/۰۲۳۴	۰/۰۲۴۲
CTF-18-2	۰/۰۲۰۴	۰/۰۲۳۴	۰/۰۲۴۱
پاسخ دقیق	۰/۰۲۴۴		

$$R_i = 100 \sum_{j=1}^{10} k_{ij} \times (11-j) / 140 \quad (18)$$

$$R_i = 100 \sum_{j=1}^{10} k_{ij} \times (11-j) / 160 \quad (19)$$

#### رتبه‌بندی جزء‌های پیشنهادی

در هر نمونه عددی، پاسخ‌های جزء‌ها برپایه دو معیار نیرو و تغییرمکان، با واکاوی ۱۶ نمونه عددی،

جدول ۱۵ رتبه‌بندی جزء‌ها برپایه نیرو

i	نام جزء	k <sub>ij</sub>										R <sub>i</sub>
		j=1	j=2	j=3	j=4	j=5	j=6	j=7	j=8	j=9	j=10	
1	ICTF-16-1	.	۱	۱	۲	۲	۱	۲	۲	۳	.	۴۸
2	ICTF-16-2	.	.	.	۲	۱	.	.	.	۲	۹	۲۳
3	ICTF-16-3	.	۱	۱	.	۱	۲	۳	۲	۲	۱	۴۳
4	ICTF-16-4	۳	۰	۱	۰	۰	۲	۲	۴	۱	۱	۵۰
5	ICTF-16-5	۲	۰	۱	۰	۳	۲	۴	۲	۰	۰	۵۵
6	ICTF-16-6	.	۵	۱	۲	۲	۳	۰	۱	۰	۰	۶۹
7	ICTF-17-1	۱	۵	۲	۲	۰	۲	۱	۱	۰	۰	۷۳
8	ICTF-17-2	۲	۱	۵	۲	۱	۰	۲	۱	۰	۰	۷۱
9	ICTF-17-3	.	۱	۰	۲	۲	۰	۰	۰	۶	۳	۳۵
10	ICTF-17-4	۶	۰	۲	۲	۲	۱	۰	۱	۰	۰	۷۸

جدول ۱۶ رتبه‌بندی جزء‌ها برپایه تغییر مکان

i	نام جزء	k <sub>ij</sub>										R <sub>i</sub>
		j=1	j=2	j=3	j=4	j=5	j=6	j=7	j=8	j=9	j=10	
1	ICTF-16-1	۲	۱	۰	۲	۰	۶	۲	۳	۰	۰	۵۶
2	ICTF-16-2	۰	۰	۰	۴	۳	۱	۰	۳	۴	۱	۴۳
3	ICTF-16-3	۰	۲	۲	۰	۱	۰	۶	۱	۴	۰	۴۷
4	ICTF-16-4	۰	۱	۰	۲	۰	۳	۰	۵	۵	۰	۳۹
5	ICTF-16-5	۰	۰	۲	۱	۶	۴	۱	۰	۰	۰	۵۲
6	ICTF-16-6	۲	۰	۰	۳	۱	۰	۱	۰	۱	۸	۳۸
7	ICTF-17-1	۲	۷	۳	۰	۰	۲	۰	۲	۰	۰	۷۷
8	ICTF-17-2	۵	۳	۴	۰	۰	۰	۱	۱	۲	۰	۷۵
9	ICTF-17-3	۰	۰	۲	۳	۲	۰	۲	۱	۱	۵	۴۲
10	ICTF-17-4	۵	۲	۳	۱	۱	۰	۲	۰	۰	۲	۷۲

جدول ۱۷ رتبه‌بندی نهایی جزء‌ها

ملاک رتبه‌بندی	R <sub>i</sub>				
	1	2	3	4	5
برپایه نیرو	ICTF-17-4	ICTF-17-1	ICTF-17-2	ICTF-16-6	ICTF-16-5
برپایه تغییر مکان	ICTF-17-1	ICTF-17-2	ICTF-17-4	ICTF-16-1	ICTF-16-5

و پس از آن، آرایش درجه‌های آزادی متناسب با آن انتخاب شد.

از این میان، ده جزء با پاسخ‌های برتر معرفی گردیدند. برپایه رتبه هر جزء در جدول (۱۷)، جزء‌های ICTF-17-1، ICTF-17-2 و ۴-۴ ICTF هم در نیرو و هم در تغییر مکان بهترین رفتار را داشتند. می‌توان وجود یک گره و یک درجه آزادی بیشتر نسبت به جزء‌های گروه ۱۶ ICTF را دلیل برتری آنها دانست. بنابراین، همان‌گونه که از رتبه‌بندی جزء‌های گروه ۱۶ ICTF بر می‌آید، چیزی مناسب گره‌ها و شمار درجه‌های آزادی اهمیت بیشتری نسبت به نحوه انتخاب جمله‌های تابع میدان دارند. با مقایسه پاسخ این جزء‌ها با پاسخ جزء‌های کامل، آشکار گردید که در بهره جستن از تابع ترفتار، انتخاب تمامی جمله‌ها لازم نیست. از این‌رو، می‌توان برای بالابردن مرتبه تابع میدان بدون افزایش شمار درجه‌های آزادی از تابع ناقص نیز بهره جست و به پاسخ‌های دقیق‌تر دست یافت. چون تابع میدان معادله ایستایی را برقرار می‌کند، پاسخ‌های نیرویی بیشتر جزء‌ها، دقت فزون‌تری نسبت به پاسخ‌های جایه‌جایی‌ها دارند.

## دست‌آوردها

در این پژوهش، تابع ترفتار برای الگوسازی خیز صفحه‌های کیرشهفی به کار رفت. این تابع پاسخ بخش همگن معادله حاکم بر رفتارسازه می‌باشد. هدف یافتن اثر جمله‌های تابع ترفتار در دقت پاسخ‌های خیز و لنگر صفحه‌های خمی بود. در آغاز، برپایه دست‌آوردهای پیشینیان و با تلاش در حفظ تقارن آرایش درجه‌های آزادی و گره‌ها، از میان هشت گونه چینش متفاوت، دو جزء مستطیلی با ۱۷ و ۱۶ درجه آزادی انتخاب شدند. تابع میدان این جزء‌ها، با ثابت پنداشتن چیدمان درجه‌های آزادی و انتخاب چند تابع ترفتار ناقص به دست آمدند. در رابطه‌سازی جزء کامل، یک تابع میدان مرتبه‌پنج از جمله‌های تابع ترفتار گزینش شد. این تابع میدان، ۱۵ جمله پیاپی ترفتار را در بر می‌گیرد که با سه حرکت جسم سخت، شمار جمله‌های تابع میدان به ۱۸ می‌رسد. همچنین، دو آرایش متفاوت با ۱۸ درجه آزادی انتخاب شدند. در جزء‌های ناقص، تابع‌های میدان پس از برپایی چینش‌های مناسب درجه‌های آزادی به دست آمدند. برای جزء‌های کامل، نخست تابع میدان کامل برپا شد

مراجع

۱. کارکن، محمد، «واکاوی خطی و ناخطي هندسی صفحه‌ها برپایه پاسخ تحلیلی»، پایان‌نامه دکترای تخصصی عمران (سازه)، دانشکده مهندسی، دانشگاه فردوسی مشهد، (۱۳۹۳).

  2. Soh, A.K., Cen, S., Long, Y.Q. and Long, Z.F., "A new twelve DOF quadrilateral element for analysis of thick and thin plates", *European Journal of Mechanics-A/Solids*, Vol. 20(2), pp. 299-326, (2001).
  3. Sheikh, A.H., Haldar, S. and Sengupta, D., "A high precision shear deformable element for the analysis of laminated composite plates of different shapes", *Composite Structures*, Vol. 55(3), pp. 329-336, (2002).
  4. Prathap, G. and Viswanath, S., "An optimally integrated four-node quadrilateral plate bending element", *International Journal for Numerical Methods in Engineering*, Vol. 19(6), pp. 831-840, (1983).
  5. Somashekar, B.R., Prathap, G. and Babu, C.R., "A field-consistent, four-noded, laminated, anisotropic plate/shell element", *Computers & structures*, Vol. 25(3), pp. 345-353, (1987).
  6. Sheikh, A.H., Haldar, S. and Sengupta, D., "A high precision shear deformable element for the analysis of laminated composite plates of different shapes", *Composite Structures*, Vol. 55(3), pp. 329-336, (2002).
  7. Rezaiee-Pajand, M. and Mohamadzade, H., "A finite element template for four-sided kirchhoff plate bending element", *J. Civil Environ. Eng.*, Vol. 40, pp. 25–38, (2010), (in Persian).
  8. Batoz, J.L. and Katili, I., "On a simple triangular Reissner/Mindlin plate element based on incompatible modes and discrete constraints", *International Journal for Numerical Methods in Engineering*, Vol. 35(8), pp. 1603-1632, (1992).
  9. Razaqpur, A.G., Nofal, M. and Vasilescu, A., "An improved quadrilateral finite element for analysis of thin plates", *Finite elements in analysis and design*, Vol. 40(1), pp. 1-23, (2003).
  10. Batoz, J.L. and Tahar, M.B., "Evaluation of a new quadrilateral thin plate bending element", *International Journal for Numerical Methods in Engineering*, Vol. 18(11), pp. 1655-1677, (1982).
  11. Jirousek, J. and Wroblewski, A., "T-elements: state of the art and future trends", *Archives of Computational Methods in Engineering*, Vol. 3(4), pp. 323-434, (1996).
  12. Jirousek, J. and Leon, N., "A powerful finite element for plate bending", *Computer Methods in Applied Mechanics and Engineering*, Vol. 12(1), pp. 77-96, (1977).
  13. Pian, T.H. and Wu, C.C., "A rational approach for choosing stress terms for hybrid finite element formulations", *International Journal for Numerical Methods in Engineering*, Vol. 26(10), pp. 2331-2343, (1988).
  14. De Miranda, S. and Ubertini, F., "A simple hybrid stress element for shear deformable plates", *International Journal for Numerical Methods in Engineering*, Vol. 65(6), pp. 808-833, (2006).
  15. Spilker, R.L. and Munir, N.I., "The hybrid-stress model for thin plates", *International Journal for Numerical Methods in Engineering*, Vol. 15(8), pp. 1239-1260, (1980).
  16. Cen, S., Long, Y. and Yao, Z., "A new hybrid-enhanced displacement-based element for the analysis of laminated composite plates", *Computers & structures*, Vol. 80(9), pp. 819-833, (2002).
  17. Jirousek, J., "Hybrid-Trefftz plate bending elements with p-method capabilities", *International journal for numerical methods in engineering*, Vol. 24(7), pp. 1367-1393, (1987).

18. Jirousek, J., Wróblewski, A. and Szybinski, B., "Alternative displacement frame formulations in hybrid-Trefftz Kirchhoff plate p-elements", *Computer Assisted Mechanics and Engineering Sciences*, Vol. 4, pp. 417-452, (1997).
19. Jirousek, J. and Guex, L., "The hybrid-Trefftz finite element model and its application to plate bending", *International Journal for Numerical Methods in Engineering*, Vol. 23(4), pp. 651-693, (1986).
20. Qin, Q.H., "Trefftz finite element method and its applications", *Applied Mechanics Reviews*, Vol. 58(5), pp. 316-337, (2005).
21. Petrolito, J., "Analytical formulation of hybrid-Trefftz thick plate elements", *Computer Assisted Mechanics and Engineering Sciences*, Vol. 10(4), pp. 575-586, (2003).
22. Dhananjaya, H.R., Pandey, P.C. and Nagabhushanam, J., "New eight node serendipity quadrilateral plate bending element for thin and moderately thick plates using Integrated Force Method", *Structural engineering and mechanics*, Vol. 33(4), pp. 485-502, (2009).
23. Rezaiee-Pajand, M. and Karkon, M., "Two higher order hybrid-Trefftz elements for thin plate bending analysis", *Finite Elements in Analysis and Design*, Vol. 85, pp. 73-86, (2014).
24. Rezaiee-Pajand, M., Yaghoobi, M. and Karkon, M., "Hybrid trefftz formulation for thin plate analysis", *International Journal of Computational Methods*, Vol. 9(04), pp. 1250053(1-29), (2012).
25. Herrera, I., "Boundary methods: an algebraic theory", Pitman Advanced Pub. Program, (1984).
۲۶. اختری، محمد رضا، «اثر محل گره و نوع درجه آزادی در جزء مثلثی صفحه خمشی»، پایان نامه کارشناسی ارشد مهندسی عمران (سازه)، دانشکده مهندسی، دانشگاه فردوسی مشهد، (۱۳۷۵).
27. Timoshenko, S.P. and Woinowsky-Krieger, S., "Theory of plates and shells", McGraw-hill, New York, (1959).
28. Wanji, C. and Cheung, Y.K., "Refined quadrilateral discrete Kirchhoff thin plate bending element", *International Journal for Numerical Methods in Engineering*, Vol. 40(21), pp. 3937-3953, (1997).
29. Soh, A.K., Long, Z.F. and Cen, S., "A new nine DOF triangular element for analysis of thick and thin plates", *Computational Mechanics*, Vol. 24(5), pp. 408-417, (1999).
30. Yu-qi, L. and Ke-gui, X., "Generalized conforming element for bending and buckling analysis of plates", *Finite Elements in Analysis and Design*, Vol. 5(1), pp. 15-30, (1989).
31. Rezaiee-Pajand, M. and Akhtary, M.R., "A family of 13-node plate bending triangular elements", *Communications in numerical methods in engineering*, Vol. 14(6), pp. 529-537, (1998).
32. Zienkiewicz, O.C. and Taylor, R.L., "The Finite Element Method", 4th Edition, Volume 2, McGraw-Hill, London, (1991).
33. Cheung, Y.K. and Chan, H.C., "A family of rectangular bending elements", *Computers & Structures*, Vol. 10(4), pp. 613-619, (1979).

## پیوست یکم - جمله‌های تابع ترفتاز

## جدول ۱۸ جمله‌های تابع ترفترز

مقدار k	شماره عبارت	جمله‌های تابع ترفیز	مقدار k	شماره عبارت	جمله‌های تابع ترفیز
.	۱	$x^2 + y^2$	۴	۱۶	$x^6 - 5x^4y^2 - 5x^2y^4 + y^6$
	-	0		۱۷	$4x^5y - 4xy^5$
	۲	$x^2 - y^2$		۱۸	$x^6 - 15x^4y^2 + 15x^2y^4 - y^6$
	۳	$2xy$		۱۹	$6x^5y - 20x^3y^3 + 6y^5x$
۱	۴	$x^3 + xy^2$	۵	۲۰	$x^7 - 9x^5y^2 - 5x^3y^4 + 5xy^6$
	۵	$x^2y + y^3$		۲۱	$5x^6y - 5x^4y^3 - 9x^2y^5 + y^7$
	۶	$x^3 - 3xy^2$		۲۲	$x^7 - 21x^5y^2 + 35x^3y^4 - 7xy^6$
	۷	$3x^2y - y^3$		۲۳	$7x^6y - 35x^4y^3 + 21x^2y^5 - y^7$
۲	۸	$x^4 - y^4$	۶	۲۴	$x^8 - 14x^6y^2 + 14x^2y^6 - y^8$
	۹	$2x^3y + 2xy^3$		۲۵	$6x^7y - 14x^5y^3 - 14x^3y^5 + 6xy^7$
	۱۰	$x^4 - 6x^2y^2 + y^4$		۲۶	$x^8 - 28x^6y^2 + 70x^4y^4 - 28x^2y^6 + y^8$
	۱۱	$4x^3y - 4xy^3$		۲۷	$8x^7y - 56x^5y^3 + 56x^3y^5 - 8xy^7$
۳	۱۲	$x^5 - 2x^3y^2 - 3xy^4$	۷	۲۸	$x^9 - 20x^7y^2 + 14x^5y^4 + 28x^3y^6 - 7xy^8$
	۱۳	$3x^4y + 2x^2y^3 - y^5$		۲۹	$7x^8y - 28x^6y^3 - 14x^4y^5 + 20x^2y^7 - y^9$
	۱۴	$x^5 - 10x^3y^2 + 5xy^4$		۳۰	$x^9 - 36x^7y^2 + 126x^5y^4 - 84x^3y^6 + 9xy^8$
	۱۵	$5x^4y - 10x^2y^3 + y^5$		۳۱	$9x^8y - 84x^6y^3 + 126x^4y^5 - 36x^2y^7 + y^9$

